

© 1991

**РЕЗОНАНСЫ ФОРМЫ
В К-СПЕКТРАХ ПОГЛОЩЕНИЯ ПЛОСКИХ АНИОНОВ
АТОМОВ II ПЕРИОДА В КРИСТАЛЛАХ**

C. B. Некипелов, B. H. Акимов, A. C. Виноградов

Методом квантового выхода внешнего рентгеновского фотоэффекта исследована ближняя тонкая структура K -спектров поглощения анионов CO_3^{2-} и BO_3^{2-} в кристаллах NaHCO_3 , Li_2CO_3 и H_3BO_3 и слоистого кристалла $\text{BN}_{\text{гекс}}$. Основные особенности спектров интерпретируются как переходы $1s$ -электронов на π - и σ -резонансы формы. Обнаружено существование линейной зависимости величины энергетического расстояния между π - и σ -резонансами и длиной связи в ряду соединений, содержащих связь $\text{C}-\text{O}$, а также в ряду изоэлектронных и изоструктурных соединений AB_3^{2-} .

В работе [1] нами было показано, что ближняя тонкая структура (БТС) рентгеновских NK - и OK -спектров поглощения кристаллов KNO_2 , NaNO_2 , KNO_3 и NaNO_3 , содержащих плоские анионы NO_2^- и NO_3^- , вполне удовлетворительно описывается в рамках квазимолекулярного подхода, т. е. при рассмотрении переходов внутренних электронов атомов азота и кислорода на систему возбужденных состояний анионов NO_2^- и NO_3^- . Основные полосы в БТС данных спектров интерпретируются как переходы $1s$ -электронов в возбужденные состояния аниона — молекулярные π - и σ -резонансы формы. При этом было обнаружено, что величина энергетического расстояния между π - и σ -резонансами ΔE ($\pi-\sigma$) имеет практически линейную зависимость от длины связи $d(\text{N}-\text{O})$.

Для обобщения этих результатов на аналогичные системы, состоящие из атомов II периода, нами были исследованы CK - и OK -спектры поглощения анионов CO_3^{2-} и BO_3^{2-} в кристаллах NaHCO_3 , Li_2CO_3 и H_3BO_3 . Кроме того, с целью выяснения, в какой мере эти результаты применимы к твердым телам, у которых первая координационная сфера имеет аналогичную структуру, был исследован NK -спектр поглощения слоистого кристалла $\text{BN}_{\text{гекс}}$.

БТС всех спектров поглощения была исследована методом квантового выхода внешнего рентгеновского фотоэффекта с помощью рентгеновского спектрометра-монохроматора РСМ-500 с энергетическим разрешением 0.2, 0.4 и 0.7 эВ в районе CK -, NK - и OK -порогов ионизации соответственно. При получении этих спектров учитывались специфические особенности разработанных ранее методик исследования спектров поглощения методом пропускания в районе K -краев поглощения атомов азота, кислорода [2] и углерода [3, 4].

Полученные нами CK - и OK -спектры анионов CO_3^{2-} и BO_3^{2-} представлены на рис. 1 (см. таблицу). Сравнение их между собой и со спектрами аниона NO_3^- [1] и молекулы BF_3 [5, 6] (рис. 2), изоэлектронных и изоструктурных исследованным анионам, позволяет основные детали БТС — полосы A и C — интерпретировать как переходы $1s$ -электронов в возбужденные состояния анионов — молекулярные π - и σ -резонансы формы. Существенно, что эти состояния могут быть описаны как свободные молекулярные орбитали (МО), построенные в основном из атомных $2p$ -орбиталей [1, 5, 6].

Энергетические положения (в эВ) элементов
тонкой структуры K-спектров квантового выхода кристаллов Li_2CO_3 , NaHCO_3 ,
 H_3BO_3 и $\text{BN}_{\text{гекс}}$

	Спектр	<i>A</i>	<i>A'</i>	<i>B</i>	<i>C</i>	<i>C'</i>	<i>D'</i>	<i>D</i>
Li_2CO_3	<i>CK</i>	290.8	—	298.0	301.3	—	—	311.8
	<i>OK</i>	534.4	—	540.3	544.2	548.0	—	562.3
NaHCO_3	<i>CK</i>	290.8	—	296.9	301.5	—	—	314.5
	<i>OK</i>	534.5	—	540.9	544.3	549.9	—	559.2
H_3BO_3	<i>BK</i>	194.0	—	—	202.6	—	—	—
	<i>OK</i>	536.9	—	—	545.0	—	—	—
$\text{BN}_{\text{гекс}}$	<i>BK</i> [15]	191.8	194.0	—	199.3	198.0	—	203.9
	<i>NK</i>	401.2	403.5	—	407.9	405.7	412.3	415.6

В работах [8–10] было указано на связь энергетического положения резонансов формы с межатомными расстояниями для молекулярных соединений атомов II периода. Недавно на примере *K*-спектра поглощения молекулы N_2 было показано [11], что в силу атомной $2p$ -природы мо-

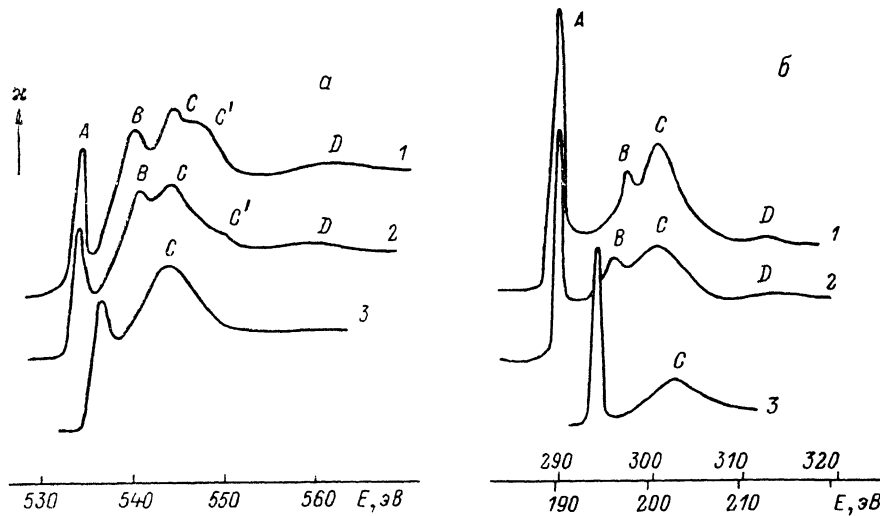


Рис. 1. *OK* (a)- и *BK* [7] и *CK* (б)-спектры квантового выхода анионов CO_3^{2-} и BO_3^{2-} . Верхние энергетические шкалы для *CK*- и *OK*-спектров, нижняя — для *BK*-спектров, *OK*- и *CK*-спектры энергетически совмещены с использованием данных работы [22] о взаимном энергетическом положении *OK*- и *CK*-уровней в анионе CO_3^{2-} (242.0 эВ). Спектры аниона BO_3^{2-} энергетически совмещены по положению полосы А. 1 — Li_2CO_3 , 2 — NaHCO_3 , 3 — H_3BO_3 .

лекулярных π - и σ -резонансов формы в N_2 межатомное расстояние непосредственно связано с величиной энергетического расстояния между π - и σ -резонансами формы, т. е. величиной расщепления атомного $2p$ -резонанса молекулярным полем, резко анизотропным в случае линейных и плоских многоатомных групп. В нашей работе [1] было обнаружено существование близкой к линейной зависимости между $\Delta E(\pi-\sigma)$ и $d(\text{N}-\text{O})$ в ряду соединений $\text{NO}-\text{NO}_2-\text{NO}_3$. Представляется естественным распространение этого подхода на спектры других соединений, содержащих линейные и плоские группы атомов II периода. Используя полученные нами значения $\Delta E(\pi-\sigma)$ для аниона CO_3^{2-} , а также известные из литературы значения $\Delta E(\pi-\sigma)$ для молекул, содержащих связь $\text{C}-\text{O}$ (см. [12] и ссылки в ней), и величины межатомного расстояния $d(\text{C}-\text{O})$ [13, 14], получаем, что и в случае связи $\text{C}-\text{O}$ приближенно сохраняется линейная зависимость между величинами $\Delta E(\pi-\sigma)$ и $d(\text{C}-\text{O})$ [12].

$$\Delta E(\pi-\sigma)(\text{эВ}) = 69.75 - 46.5d(\text{C}-\text{O})(\text{\AA}).$$

В рамках квазимолекулярного подхода остается непонятным появление в спектрах аниона CO_3^{2-} по сравнению со спектрами молекулы BF_3 [5, 6] и аниона BO_3^{2-} дополнительных пиков B и D (рис. 1, 2), обусловленных, видимо, влиянием кристаллического окружения. Аналогичные особенности наблюдались и в спектрах аниона NO_3^- [1] (рис. 2). В работе [1] были предложены два альтернативных объяснения происхождения пика B в спектрах аниона NO_3^- . Прежде всего это искажение кристаллическим окружением структуры многоатомного плоского аниона NO_3^- , что должно выразиться в появлении неэквивалентных длин связи $\text{N}-\text{O}$ в треугольном анионе NO_3^- . В этом случае полоса B , так же как и полоса C , интерпретируется как переход в σ -резонансное состояние, но соответствующее другой длине связи $\text{N}-\text{O}$. Альтернативной причиной появления полосы B является возможность рассеяния K -электрона в соседнем анионе NO_3^- без рентгеновской вакансии. В этом случае полоса B интерпретируется, так же как и пик A , как переход в π -резонансное состояние.

В случае кристалла NaHCO_3 известно [14], что в анионе CO_3^{2-} один

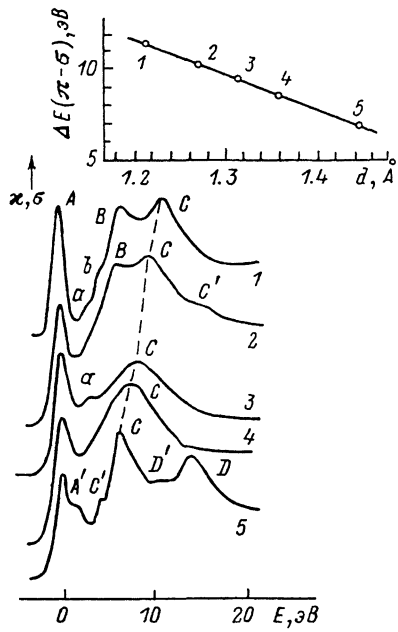


Рис. 2. K -спектры поглощения угловых атомов в анионах NO_3^- [1], CO_3^{2-} , BO_3^{2-} , в молекуле BF_3 и кристалле $\text{BN}_{\text{реко}}$.

1 — NO_3^- (1.217), 2 — CO_3^{2-} (1.27), 3 — BF_3 (1.313), 4 — BO_3^{2-} (1.36), 5 — $\text{BN}_{\text{реко}}$ (1.45). В скобках указана длина связи в \AA [5, 14]. Штриховая линия — движение σ -резонанса.

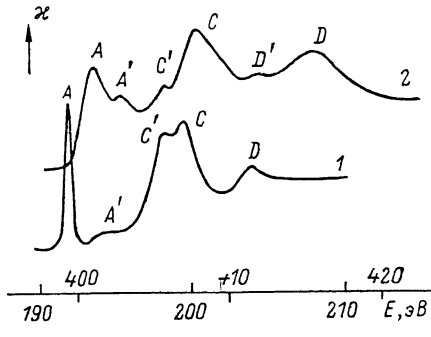


Рис. 3. Тонкая структура ВК [15] (1)- и NK (2)-спектров поглощения кристалла $\text{BN}_{\text{реко}}$.

Спектры энергетически совмещены с использованием данных работы [14] о взаимном энергетическом положении BK - и NK -уровней в кристалле $\text{BN}_{\text{реко}}$ (207.7 эВ).

атом кислорода неэквивалентен двум другим. При этом длина связи $d(\text{C}-\text{O})=1.263$, $d(\text{C}-\text{OH})=1.346 \text{ \AA}$. Исходя из полученной нами зависимости $\Delta E(\pi-\sigma)$ от $d(\text{C}-\text{O})$ для пика B в спектрах кристалла NaHCO_3 , получаем величину $d(\text{C}-\text{O}^*) \sim 1.36 \text{ \AA}$, что достаточно хорошо совпадает с указанной выше. В пользу данного механизма, ответственного за появление пика B в спектрах аниона CO_3^{2-} , указывает также отсутствие аналогичных особенностей в спектрах аниона BO_3^{2-} в кристалле H_3BO_3 , для которого известно, что все связи $\text{B}-\text{O}$ одинаковы и имеют длину 1.36 \AA [14]. Учитывая наличие дополнительного пика B в случае спектров кристалла Li_2CO_3 , можно предположить, что в данном кристалле также существует искажение аниона CO_3^{2-} , что соответствует появлению неэквивалентных длин связи $\text{C}-\text{O}$. В этом случае, исходя из энергетического положения пика B в спектрах кристалла Li_2CO_3 , $d(\text{C}-\text{O}^*)$ имеет величину $\sim 1.35 \text{ \AA}$.

Рассмотренные примеры показывают, что величина $\Delta E(\pi-\sigma)$ достаточно чувствительна к величине межатомного расстояния в плоских и линейных молекулах и анионах. В этой связи интересно было бы рас-

пространить наше рассмотрение на кристаллы, в которых первая координационная сфера имеет треугольную форму, вследствие чего данные кристаллы имеют слоистую структуру. Наиболее подходящим для этого является кристалл BN_{reks}.

NK-спектр поглощения кристалла BN_{reks} ранее был исследован в работах [15-17] с плохим энергетическим разрешением ($\sim 1.4 \div 2.8$ эВ). Полученный нами с высоким энергетическим разрешением (~ 0.4 эВ) *K*-спектр поглощения атома азота (рис. 3, таблица) позволил провести более детальный анализ БТС данного спектра. По сравнению со спектрами, представленными в [15-17], нам удалось выделить дополнительные пики A', C', D'; кроме того, пик A стал более интенсивным по отношению к остальному спектру. Сопоставление полученного нами *NK*-спектра с известным из литературы *BK*-спектром [15-20] показывает достаточно хорошую корреляцию данных спектров между собой по числу основных деталей БТС и их энергетическому положению (рис. 3, таблица). Ограничивааясь рассмотрением наиболее характерных деталей БТС, можно отметить, что данные спектры коррелируют с *K*-спектрами анионов NO₃⁻, CO₃²⁻, BO₃²⁻ и молекулы BF₃ (рис. 2). Это позволяет интерпретировать полосы A и C в спектрах кристалла BN_{reks} как переходы 1s-электронов атомов азота и бора на π - и σ -резонансы формы. Этот вывод совпадает с результатами работы [17], в которой рассматривались поляризационная зависимость спектров характеристических потерь энергии электронов в районе *NK*- и *BK*-краев поглощения. Проведенная нами интерпретация основных деталей БТС *K*-спектров поглощения кристалла BN_{reks} также хорошо согласуется с результатами расчета плотности состояний, выполненного в работе [21].

Рассматривая *K*-спектры поглощения центральных атомов азота, углерода и бора в ряду соединений NO₃⁻-CO₃²⁻-BF₃-BO₃²⁻-BN_{reks}, можно заметить, что по мере увеличения длины связи *d* в данных соединениях величина ΔE ($\pi-\sigma$) монотонно уменьшается. Аналогичная зависимость наблюдается и в случае *OK*, *FK*- и *NK*-спектров этих соединений (рис. 2). Более того, существует линейная зависимость между величинами ΔE ($\pi-\sigma$) и *d* (рис. 2). Исходя из существования данной зависимости и учитывая тот факт, что анионы NO₃⁻, CO₃²⁻, BO₃²⁻ и молекула BF₃ являются изоэлектронными и изоструктурными соединениями, можно предположить, что в кристалле BN_{reks} можно выделить, ограничиваясь первой координационной сферой, анион BN_j⁻. Данный анион будет также изоэлектронен и изоструктурен всем остальным соединениям в рассматриваемом ряду. Потенциал данного аниона, по-видимому, и определяет существование основных резонансных особенностей в *K*-спектрах поглощения кристалла BN_{reks} — полос A и C. Учет последующих координационных сфер, видимо, позволяет объяснить усложнение структуры спектров.

Список литературы

- [1] Некипелов С. В., Акимов В. Н., Виноградов А. С. // ФТТ. 1988. Т. 30. № 12. С. 3647—3651.
- [2] Виноградов А. С., Зимкина Т. М., Акимов В. Н., Шларбаум Б. // Изв. АН СССР, сер. физ. 1974. Т. 38. № 2. С. 508—515.
- [3] Сивков В. Н., Акимов В. Н., Виноградов А. С., Зимкина Т. М. // Опт. спектр. 1984. Т. 57. № 2. С. 265—269.
- [4] Сивков В. Н., Акимов В. Н., Виноградов А. С., Зимкина Т. М. // Вест. ЛГУ, сер. физ. 1983. Т. 10. В. 2. С. 79—81.
- [5] Некипелов С. В., Акимов В. Н., Виноградов А. С. // Опт. спектр. 1988. Т. 64. № 4. С. 817—822.
- [6] Ishiguro E., Iwata S., Suzuki Y. // J. Phys. B. 1982. V. 15. N 3. P. 1841—1854.
- [7] Hallmeir K.-H., Szargan R., Meisel A. // Spectrochimica Acta. 1981. V. 37A. P. 1049—1056.
- [8] Sette F., Stöhr J., Hitchcock A. P. // Chem. Phys. Lett. 1984. V. 110. P. 517—520.
- [9] Hitchcock A. P., Brion C. E. // J. Phys. B. 1981. V. 14. N 22. P. 4399—4413.
- [10] Акимов В. Н., Виноградов А. С., Павлычев А. А., Сивков В. Н. // Опт. спектр. 1985. Т. 59. № 2. С. 342—347.

- [11] Павлычев А. А., Виноградов А. С. // Опт. спектр. 1987. Т. 62. № 2. С. 329—332.
- [12] Некипелов С. В. // Автореф. канд. дис. Л., ЛГУ, 1989.
- [13] Structure Data of Free Polyatomic Molecules. Londolt—Börnstein. V. 7. Springer, N. Y., 1976.
- [14] Wyckoff R. W. G. Crystal structures. V. 2. Intercience Publishers, N. Y., London, Sydney, 1967. 588 p.
- [15] Fomichev V. A., Rumsh M. A. // J. Phys. Chem. Solids. 1968. V. 29. P. 1015—1024.
- [16] Hosoi J., Oikawa T., Inoue M. // J. Electron. Spectrosc. 1982. V. 27. P. 243—254.
- [17] Leapman R. D., Fejes P. L., Silcox J. // Phys. Rev. B. 1983. V. 28. P. 2361—2373.
- [18] Leapman R. D., Silcox J. // Phys. Rev. Lett. 1979. V. 42. P. 1361—1364.
- [19] Barth J., Kunz C., Zimkina T. M. // Sol. St. Comm. 1980. V. 36. P. 453—459.
- [20] Davies B. M., Bassani F., Brown F. C., Olson C. G. // Phys. Rev. B. 1981. V. 24. P. 3537—3546.
- [21] Robertson J. // Phys. Rev. B. 1984. V. 29. P. 2131—2137.
- [22] Салынь Я. В., Титова К. В., Логинова Е. Н., Нефедов В. И., Россовский В. Я. // Журн. неорг. хим. 1977. Т. 22. № 11. С. 2998—3003.
- [23] Hamrin K., Johansson G., Gilius U., Nordling C., Siegbahn K. // Phys. Scr. 1970. V. 1. N 1. P. 277—280.

Ленинградский государственный университет

Поступило в Редакцию
15 мая 1990 г.
